

МЕХАНИЗМ ТУРБУЛЕНТНОГО ТЕЧЕНИЯ НЕСЖИМАЕМОЙ ЖИДКОСТИ В КАНАЛАХ, ТРУБАХ

Э. А. Буланов

При рассмотрении течения в каналах, трубах переход от ламинарного течения в турбулентное предлагается рассматривать, как следствие наступления вращения элементов объема под действием момента касательных напряжений. На основе вращения элемента объема жидкости, предложен механизм турбулентного перемешивания с учетом переноса пульсационной составляющей скорости, при котором касательные напряжения изменяются по линейному закону. Предложен критерий перехода ламинарного течения в турбулентное. Приведено сравнение результатов расчетов с экспериментальными данными.

Ключевые слова: *турбулентность; течение в каналах, трубах; число Рейнольдса; механизм перемешивания.*

Современный подход к переходу ламинарного течения в турбулентное [1, 2], связан с потерей устойчивости течения при наличии малых возмущений. В предлагаемом исследовании сделано предположение, что этот переход связан с превышением момента касательных напряжений некоторого предельного значения. При анализе развитого турбулентного течения используется механизм турбулентного перемешивания Буссинеска-Прандтля [1, 2], применяя который к течению вблизи стенки, где касательное напряжение можно считать постоянным и равным напряжению на стенке, получается логарифмический профиль скорости осредненного движения. Однако при течении жидкости по каналам, трубам касательное напряжение изменяется по линейному закону. В предлагаемом исследовании рассмотрен механизм турбулентного перемешивания, соответствующий линейному закону изменения касательных напряжений.

Рассмотрим деформацию элемента объема жидкости при течении в канале с параллельными стенками на расстоянии $2h$ (рис. 1).

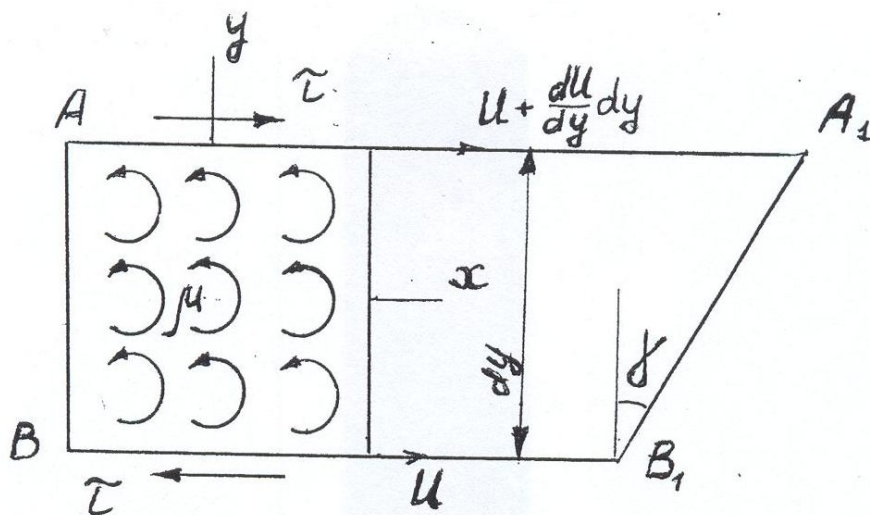


Рис. 1

В начальный момент (при $t = 0$) грань $AB = dy$ – вертикальна, но по прошествии времени t грань AB займет положение A_1B_1 . Перемещение точки B : $S_{(B)} = U \cdot t$, перемещение точки A : $S_{(A)} = \left(U + \frac{dU}{dy} dy \right) \cdot t$, где $U = U(y)$ – скорость жидкости.

Угол сдвига γ определяется из геометрии:

$$tg\gamma = \frac{S_{(A)} - S_{(B)}}{AB} = \frac{dU}{dy} \cdot t.$$

Очевидно, при $t \rightarrow \infty$: $tg\gamma \rightarrow \infty$; $\gamma \rightarrow \frac{\pi}{2}$.

В начальный момент $\gamma = 0$ и производная:

$$\frac{d\gamma}{dt} = \frac{dU}{dy} = \omega.$$

Величина ω есть значение угловой скорости элемента объема в данный момент – мгновенное значение угловой скорости. На элемент объема жидкости действует момент пары сил от касательных напряжений, который стремится создать вращение. До некоторого предельного значения этого момента – вращения нет, происходит плоскопараллельное движение (ламинарное течение). Если момент пары от касательных напряжений превышает это предельное значение, то элемент объема начинает вращаться, течение переходит в турбулентное.

Рассмотрим установившееся турбулентное течение. Распределение напряжения трения по сечению канала:

$$\tau = \tau_w \cdot (1 - \bar{y}) = \rho \cdot v_*^2 \cdot (1 - \bar{y}), \quad (1)$$

где $v_* = \sqrt{\frac{\tau_w}{\rho}}$ – динамическая скорость, $\bar{y} = \frac{y}{h}$, τ_w – напряжение на стенке.

Согласно схеме турбулентного перемешивания Буссинеска-Прайдтля при турбулентном течении происходит перенос количества движения. При осреднении по Рейнольдсу не учитывается перенос количества движения пульсационной составляющей скорости. За переносимую величину – можно принять размах колебаний скорости: $2\rho u_1$, где $u_1 = \sqrt{u'^2}$, а $\sqrt{u'^2}$ – осредненная амплитуда пульсационной составляющей.

Турбулентное перемешивание представим в виде вращения элементов объема. Если вращающийся элемент объема имеет радиус $l = l(y)$, то окружная скорость вращения $V' = l \cdot \omega$, где $\omega = \frac{\partial U}{\partial y}$.

Согласно схеме Буссинеска-Прандтля количество движения, перенесенное с верхнего слоя AB – положительно, а с симметрично расположенного нижнего слоя A_1B_1 – от-

рицательно (рис. 2). При механизме переноса в результате вращения это объясняется тем, что импульсы сил от касательных напряжений для этих двух слоев обратные по знаку. Скорость переноса – $V' \sin \varphi$.

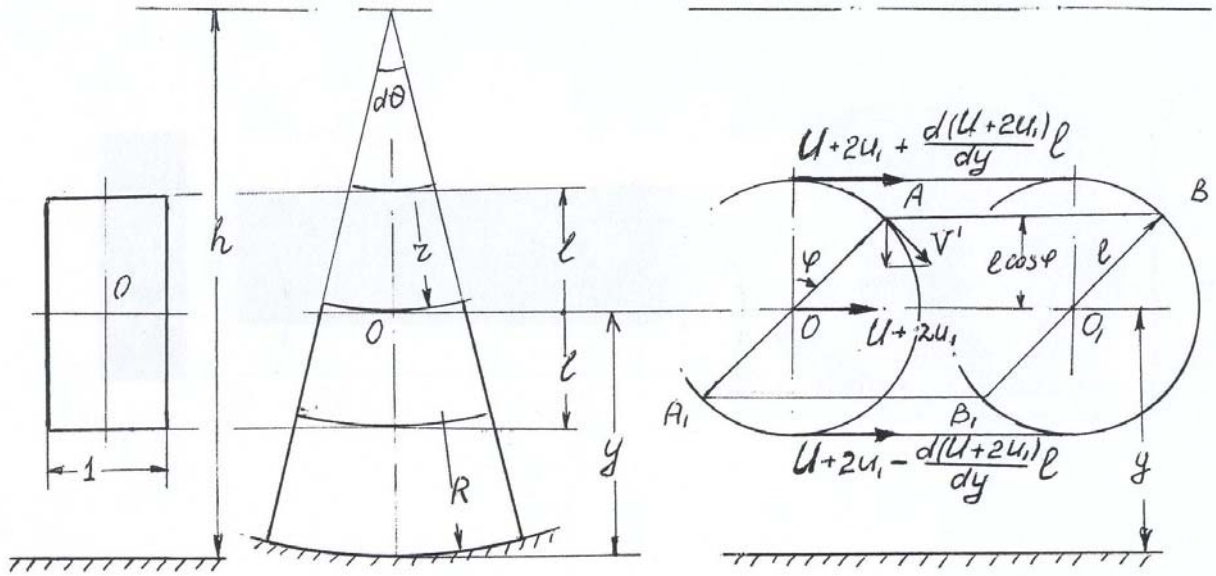


Рис. 2

Касательные напряжения турбулентного трения с учетом переноса пульсационной составляющей:

$$\begin{aligned} \tau &= -\rho \cdot \overline{u'v'} = -2\rho \int_0^{\pi/2} V' \sin \varphi \cdot \left(\frac{dU}{dy} + 2 \cdot \frac{du_1}{dy} \right) \cdot l \cdot \cos \varphi d\varphi = \\ &= \rho V' \cdot l \cdot \left(\frac{dU}{dy} + 2 \cdot \frac{du_1}{dy} \right). \end{aligned} \quad (2)$$

Подставляя $V' = \frac{dU}{dy} \cdot l$ и приравняв выражения (1) и (2), получим:

$$l^2 \cdot \frac{dU}{dy} \cdot \left(\frac{dU}{dy} + 2 \cdot \frac{du_1}{dy} \right) = v_*^2 \cdot \left(1 - \frac{y}{h} \right). \quad (3)$$

Для течения в круглой трубе радиуса R площадь верхнего и нижнего слоев определяется как $(r - l \cos \varphi) \cdot AB \cdot d\theta$, где $r = R - y$. (рис. 2). Схема Буссинеска-Прандтля не приводит к уравнению (2). Но, если принять механизм вращения, то из уравнения сохранения расхода:

$$V' = -l \cdot \frac{dU}{dr} \cdot \frac{r}{(r - l \cos \varphi)},$$

тогда получим и для течения в трубе уравнения (2) и (3).

Из уравнения (3) следуют два других уравнения:

$$l \cdot \frac{dU}{dy} = v_* , \quad (4)$$

$$2 \cdot \frac{dU}{dy} \cdot \frac{du_1}{dy} = -\frac{v_*^2}{l^2} \cdot \frac{y}{h} . \quad (5)$$

Уравнение (4) дает известное решение для скорости жидкости в области развитого турбулентного течения при $l = \chi \cdot y$

$$\frac{U_m - U}{v_*} = \frac{1}{\chi} \cdot \ln\left(\frac{h}{y}\right), \quad (6)$$

а также из уравнения (4) следует, что $V' = v_*$ и не зависит от y .

Из уравнения (5), т.к. $\frac{dU}{dy} = \frac{v_*}{l}$, получим при $l = \chi \cdot y$

$$\frac{du_1}{dy} = -\frac{v_*}{2l} \cdot \left(\frac{y}{h}\right) = -\frac{v_*}{2\chi} \cdot \frac{1}{h} .$$

В результате, т.к. на оси канала, трубы $\tau = 0$, продольная пульсационная составляющая скорости, определяемая турбулентным перемешиванием, равна

$$\sqrt{u'_T{}^2} = 1,25v_* (1 - \bar{y}) .$$

Само вращение элемента объема создает пульсации скорости. С учетом равновероятного их расположения в объеме в любой точке объема возникают пульсации скорости равновероятно направленные под различными углами с амплитудой $V' = v_*$.

Таким образом, пульсационные составляющие, определяемые вращением элемента $\sqrt{v'^2} = \sqrt{u'_e{}^2} = v_*$ не зависят от координаты y . Причем при вращении они не изменя-

ют количества движения, т.к. $\frac{dv_*}{dy} = 0$.

Суммарно пульсационные составляющие в потоке:

$$\sqrt{u'^2} = v_* (2,25 - 1,25\bar{y}); \quad \sqrt{v'^2} = v_* . \quad (7)$$

Результаты измерения пульсационных составляющих скорости $\sqrt{u'^2}$ и $\sqrt{v'^2}$, в зависимости от безразмерной координаты \bar{y} , представлены на *рис. 3, 4*. Там же представлены прямые, соответствующие (7). Как видно из сравнения, предлагаемая модель турбулентного течения качественно довольно верно описывает реальный процесс. Уменьшение $\sqrt{v'^2}$ при $\bar{y} > 0,4$ (*рис. 4*) можно объяснить случайным характером отклонения плоскости вращения.

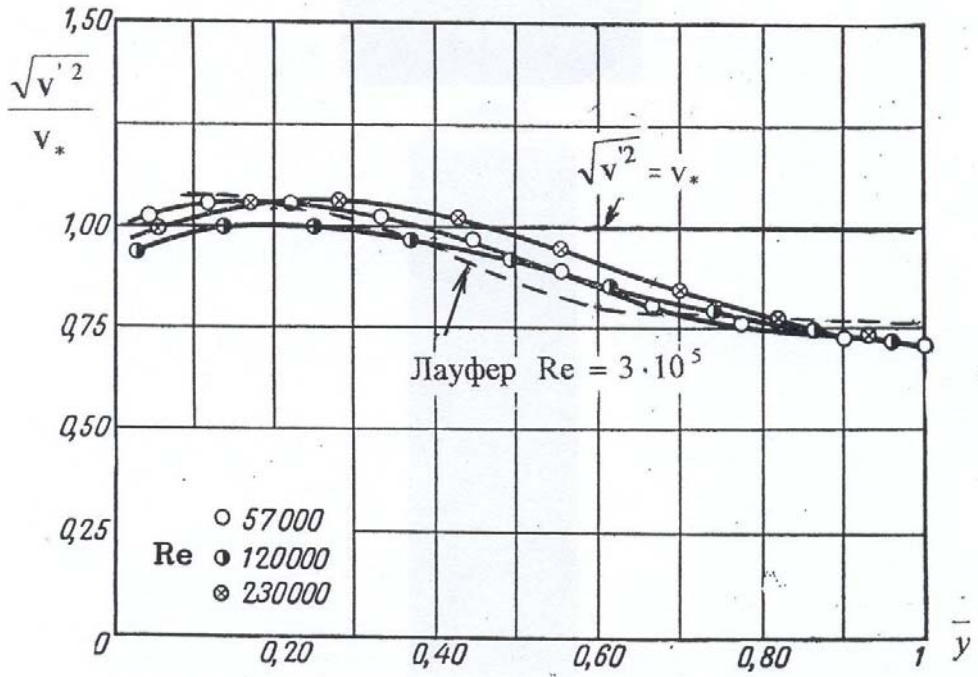


Рис. 3

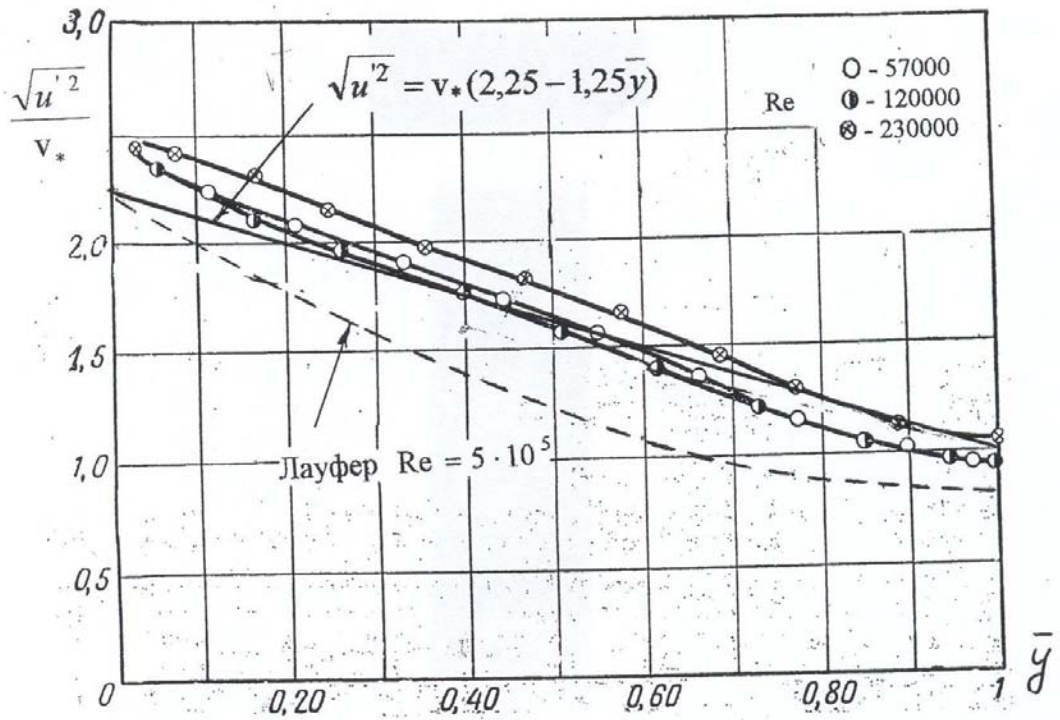


Рис. 4

Определим коэффициент корреляции $R = \frac{\overline{u'v'}}{\sqrt{\overline{u'^2}} \cdot \sqrt{\overline{v'^2}}}$. Так как $\overline{u'v'} = -\tau / \rho = -v_*^2 \cdot (1 - \bar{y})$, а $\sqrt{\overline{u'^2}} = v_* \cdot (2,25 - 1,25\bar{y})$, $\sqrt{\overline{v'^2}} = v_*$, то

$$R = -\frac{1 - \bar{y}}{2,25 - 1,25\bar{y}}. \quad (8)$$

Расчеты коэффициента корреляции по этой формуле представлены на *рис. 5*, там же представлены результаты экспериментального исследования [3] по определению коэффициента корреляции. Сравнение показывает на удовлетворительное соответствие расчетов и данных эксперимента.

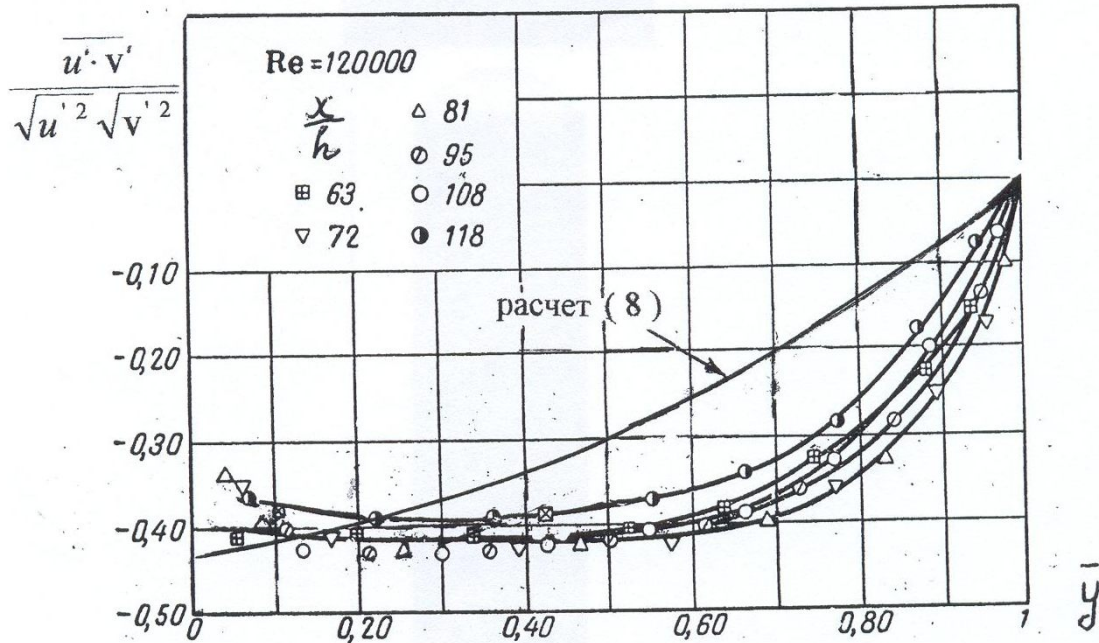


Рис. 5

При рассмотрении течения в трубах экспериментальные данные Лауфера [4] качественно совпадают с данными Конт-Белло. Для примера на *рис. 3, 4* приведены данные Лауфера по распределению пульсационных составляющих скорости.

Рассмотрим область пристеночного течения – ламинарный подслой. Вследствие малости его толщины δ_0 в этой области $\tau \approx \tau_w = const$. При $l = l_*$, где l_* – динамическая длина [2] и $\tau = \tau_w$ из (3) следует, что в области ламинарного подслоя зависимость U

и u_1 от y можно представить в виде $U = k \cdot \frac{v_*}{l_*} y$ и $u_1 = k_1 \cdot \frac{v_*}{l_*} y$. Тогда из (3) получим уравнение

$$k^2 + 2k \cdot k_1 = 1.$$

Амплитуда пульсационной составляющей скорости на границе ламинарного подслоя при $y = \alpha \cdot l_*$ $u_1 = 2,25v_*$ (8), откуда $k_1 = \frac{2,25}{\alpha}$. Тогда

$$k = \sqrt{1 + \frac{5,06}{\alpha^2} - \frac{2,25}{\alpha}}. \quad (9)$$

Скорость U на границе ламинарного подслоя: $U = k\alpha v_*$.

В результате в ламинарном подслое:

$$\sqrt{u'^2} = 2,25v_* \frac{y}{\alpha l_*}. \quad (10)$$

Если при $y > \delta_0$, $l = l_* + \chi(y - \delta_0)$, то решение уравнения (4) при граничных условиях: при $y = h$ $U = U_m$

$$U = U_m + \frac{v_*}{\chi} \ln \left(\frac{l_*(1 - \alpha\chi) + \chi y}{l_*(1 - \alpha\chi) + \chi h} \right) \quad (11)$$

Так как при $y = \alpha l_*$ $U = k\alpha v_*$, то из (11) получим уравнение для определения константы α

$$\frac{U_m}{v_*} = k\alpha + \frac{1}{\chi} \ln \left(1 - \alpha\chi + \chi \frac{h}{l_*} \right). \quad (12)$$

Для течения в трубе, согласно экспериментальным данным [2], $U_m = U_{cp} + 4,08v_*$, где $U_{cp} = \frac{2\sqrt{2}v_*}{4\sqrt{\lambda}}$ – средняя скорость жидкости в трубе, λ – коэффициент сопротивления. Тогда уравнение (12) при $\chi = 0,4$ примет вид

$$\frac{2\sqrt{2}}{\sqrt{\lambda}} + 4,08 = k\alpha + 2,5 \ln \left(1 - 0,4\alpha + 0,4 \frac{\text{Re} \sqrt{\lambda}}{4\sqrt{2}} \right), \quad (13)$$

где $\text{Re} = \frac{U_{cp} 2R}{v}$.

Подставляя для λ эмпирические формулы Блазиуса ($\lg \text{Re} \leq 5$) и Никурадзе ($\lg \text{Re} \geq 5$) из (12) и (9), получим

$$\begin{aligned} \text{при } \lg \text{Re} = 3,6, & \quad \alpha = 10,4, & \quad k = 0,807, \\ \text{при } \lg \text{Re} = 3,8, & \quad \alpha = 10,1, & \quad k = 0,802, \\ \text{при } \lg \text{Re} \geq 4, & \quad \alpha = 10, & \quad k = 0,8. \end{aligned}$$

Из (12), (11) следует универсальный закон распределения скорости при $y > \delta_0$

$$\frac{U}{v_*} = k\alpha + 2,5 \cdot \ln \left[0,4 \cdot \left(\frac{y}{l_*} \right) + 1 - 0,4\alpha \right]. \quad (14)$$

При $\alpha = 10$ и $y \gg \delta_0$ $\frac{U}{v_*} = 5,75 \lg \left(\frac{y}{l_*} \right) + 5,709$, что практически совпадает с

известным универсальным логарифмическим законом [2]. Отличие в постоянной на 0,209 укладывается в разброс экспериментальных данных [2].

В ламинарном подслое при $y \leq \delta_0$

$$\frac{U}{v_*} = 0,8 \frac{y}{l_*}. \quad (15)$$

Расчет $\frac{U}{v_*}$ при $y < 3 \cdot l_*$ по формулам (14) и (15) (сплошная линия) дает хорошее соответствие с экспериментальными данными Лауфера, Вигхарда, Тсуджи и Морикава [2] (рис. 6).

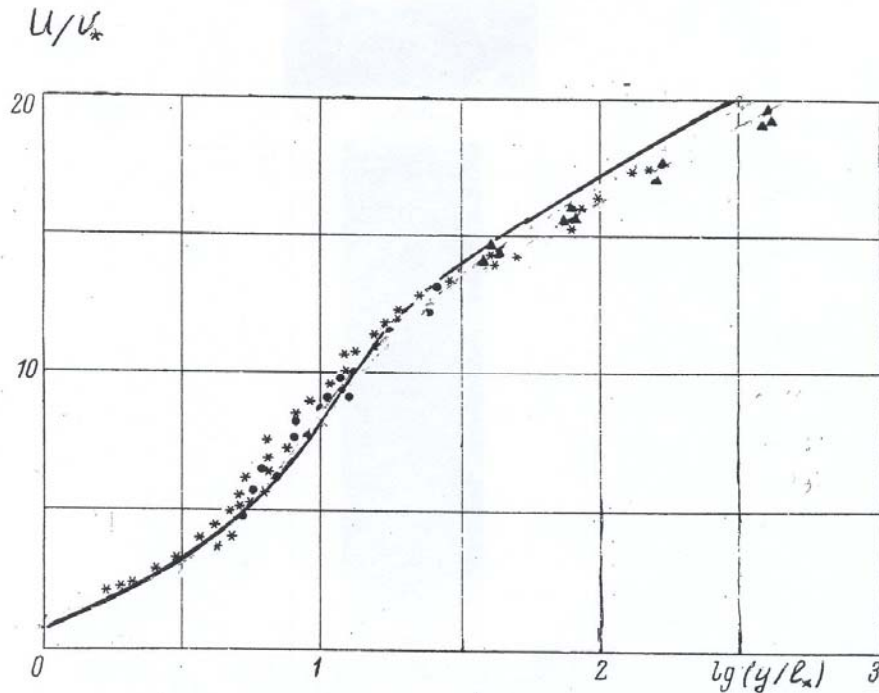


Рис. 6

Для течения в канале с параллельными стенками [3], подставляя в (12) значения U_m, v_* при $\nu = 0,15 \cdot 10^{-4} \text{ м}^2 / \text{с}$, получим

$$\text{при } Re = 57000, \quad \alpha = 11,9, \quad k = 0,829,$$

$$\text{при } Re = 120000, \quad \alpha = 11, \quad k = 0,82,$$

$$\text{при } Re = 230000, \quad \alpha = 13,3, \quad k = 0,84, \text{ откуда средние}$$

значения $\alpha = 12, k = 0,83$.

Из уравнения (5) при законе изменения скорости согласно (14) получим, что

$$\sqrt{U_T'^2} = 1,25 \left[\left(1 - \bar{y} \right) - \frac{5,5}{Re_*} \ln \left(\frac{0,4 \bar{y} - \frac{3,8}{Re_*}}{0,4 - \frac{3,8}{Re_*}} \right) \right]. \quad (16)$$

В [3] число Рейнольдса $Re_* = \frac{v_* h}{\nu} = 2340, 4800, 8160$. Расчеты по (16) при

$y = 12 \cdot l_*$ и при вышеуказанных числах Рейнольдса дают для $\sqrt{u_T'^2}$ соответственно следующие результаты: 1,267; 1,259; 1,254. При $y > 12 \cdot l_*$ влияние второго члена в (16) пренебрежимо мало.

Расчет продольной пульсационной составляющей скорости по (10) и (16) (пунктирная линия) при $\alpha = 12$ и $y \leq 100 \cdot l_*$ и экспериментальные данные [3] приведены на рис. 7. Сравнение указывает на удовлетворительное соответствие расчета данным экспериментов.

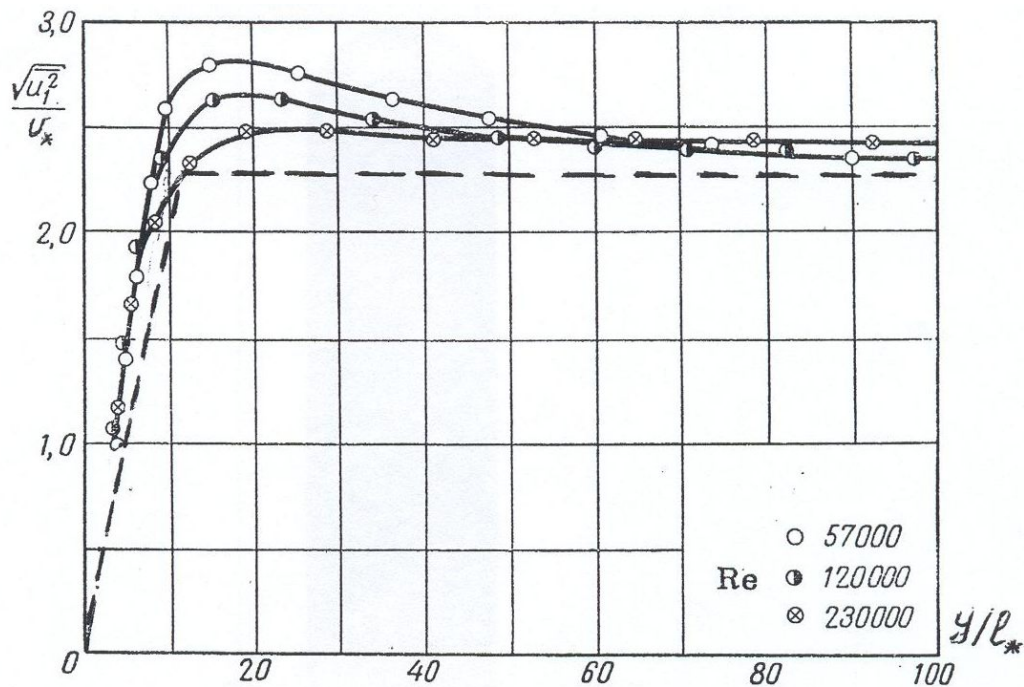


Рис. 7

Рассмотрим механизм образования турбулентности. На гранях элемента объема dx действуют касательные напряжения $\tau = \rho \nu \cdot \frac{dU}{dy}$, на гранях dy касательные напряжения равны нулю (рис. 1). Можно предположить, что элемент объема удерживается от вращения моментными напряжениями μ , распределенными по объему, где μ – их интенсивность. Тогда уравнение равновесия (моментов) (рис. 1):

$$\sum M_A = \rho \nu \frac{dU}{dy} \cdot 1 \cdot dx \cdot dy - \mu \cdot 1 \cdot dx \cdot dy = 0,$$

откуда $\mu = \rho \nu \cdot \frac{dU}{dy} = \tau$.

Турбулентность возникает в пристеночной зоне течения, в которой $\tau = \tau_{\max} = \tau_w$ и затем распространяется на все сечения канала. Условие возникновения турбулентности в этой области $\tau_w \geq \mu_0$, где μ_0 – некоторое предельное значение моментных напряжений. Если принять, что

$$\mu_0 = \rho \frac{v^2}{\delta^2} n, \quad (17)$$

где n – эмпирическая константа, δ – толщина пограничного слоя, то условие возникновения турбулентности примет вид: $v_*^2 \geq \frac{v^2}{\delta^2} n$, откуда

$$\text{Re}_{*,кр} = \frac{v_* \delta}{\nu} \geq \sqrt{n}.$$

Однако, возникновение «вихрей» в пристеночной зоне однозначно не определяет возникновение турбулентности во всем сечении канала. Вероятно, переход ламинарного течения в турбулентное в канале зависит от среднего значения по сечению моментных напряжений $\mu_{cp} = \tau_{cp}$, чем больше отношение τ_{cp} / τ_w , тем меньше $\text{Re}_{*,кр}$.

Также можно предположить, что величина $\text{Re}_{*,кр}$ зависит от влияния вязкости на профиль скорости в потоке. При отсутствии внутреннего трения скорость в потоке была бы постоянной, равной U_m . Влияние вязкости приводит к тому, что средняя скорость по сечению $U_{cp} < U_m$, а, следовательно, для скоростного напора $\rho U_{cp}^2 < \rho U_m^2$. Очевидно, что чем больше влияние вязкости, тем меньше $\text{Re}_{*,кр}$.

В результате критическое число Рейнольдса при котором происходит переход ламинарного течения в турбулентное во всем сечении потока жидкости:

$$\text{Re}_{*,кр}^2 = n \cdot \left(\frac{\tau_w}{\tau_{cp}} \right) \cdot \left(\frac{\rho U_{cp}^2}{\rho U_m^2} \right) = n \cdot \left(\frac{C_{f,w}}{C_{f,cp}} \right), \quad (18)$$

где $C_f = \frac{\tau}{\rho U^2}$ – коэффициент сопротивления.

Экспериментальные данные по определению критического числа Рейнольдса позволяет проверить справедливость ранее высказанных предположений, а, следовательно, и формулы (18).

В течения Куэтта: $\tau_w = \rho \nu \frac{U_m}{\delta} = const$; $U_{cp} = \frac{1}{2} U_m$, $Re_{кр} = \frac{U_m \delta}{\nu} = 3000$

[1], тогда $Re_{*,кр}^2 = \left(\frac{v_* \delta}{\nu} \right)^2 = \left(\nu \frac{U_m}{\delta} \right) \frac{\delta^2}{\nu^2} = \frac{U_m \delta}{\nu} = 3000$, и из (18) следует, что $n = 12000$.

В течения в круглой трубе:

$$\tau_w = \rho \nu \frac{2 \cdot U_m}{\delta}, \tau_{cp} = \frac{2}{3} \tau_w, U_{cp} = \frac{1}{2} U_m, Re_{кр} = \frac{U_{cp} 2\delta}{\nu} = 2300 [1],$$

тогда $Re_{*,кр}^2 = \left(\nu \frac{2 \cdot U_m}{\delta} \right) \frac{\delta^2}{\nu^2} = 4 \cdot \frac{U_{cp} \delta}{\nu} = 4600$.

Из (18) получим, что $Re_{*,кр}^2 = 4500$.

В течения между параллельными стенками:

$$\tau_w = \rho \nu \frac{2 \cdot U_m}{\delta}, \tau_{cp} = \frac{1}{2} \cdot \tau_w, U_{cp} = \frac{2}{3} \cdot U_m, Re_{кр} = \frac{U_m \delta}{\nu} = 5314 [1].$$

Тогда $Re_{*,кр}^2 = \left(\nu \frac{2 \cdot U_m}{\delta} \right) \frac{\delta^2}{\nu^2} = 2 \cdot \frac{U_m \delta}{\nu} = 10628$.

Из (18) получим, что $Re_{*,кр} = 10667$.

Таким образом, расчеты подтверждают ранее высказанные предположения о причинах перехода ламинарного течения в турбулентное.

Проведенные исследования подтверждают справедливость представления перехода ламинарного течения в турбулентное вследствие наступления вращения элементов объема жидкости под действием моментов пар сил от касательных напряжений. Представление механизма турбулентного перемешивания в результате вращения элементов объема позволяет более точно описать процесс течения жидкости в пограничном слое.

Литература

1. Шлихтинг Г. Теория пограничного слоя. – М.: Наука, 1974. – 712 с.
2. Лойцянский Л.Г. Механика жидкости и газа. – М.: Дрофа, 2003. – 840 с.
3. Конт-Белло Ж. Турбулентное течение в каналах с параллельными стенками. – М.: Мир, 1968. – 176 с.
4. Хипце И.О. Турбулентность. – М.: Физматгизд, 1963 – 607 с.